

# Étude spectrophotométrique de la réactivité de la matière organique

Noémie Janot, Gregory Korshin, Pascal Reiller, Marc Benedetti

► **To cite this version:**

Noémie Janot, Gregory Korshin, Pascal Reiller, Marc Benedetti. Étude spectrophotométrique de la réactivité de la matière organique. *Matières Organiques et Environnement*. Congrès national RESMO, Jan 2009, Sainte-Maxime, France. hal-02536163

**HAL Id: hal-02536163**

**<https://hal.inrae.fr/hal-02536163>**

Submitted on 7 Apr 2020

**HAL** is a multi-disciplinary open access archive for the deposit and dissemination of scientific research documents, whether they are published or not. The documents may come from teaching and research institutions in France or abroad, or from public or private research centers.

L'archive ouverte pluridisciplinaire **HAL**, est destinée au dépôt et à la diffusion de documents scientifiques de niveau recherche, publiés ou non, émanant des établissements d'enseignement et de recherche français ou étrangers, des laboratoires publics ou privés.

# Étude spectrophotométrique de la réactivité de la matière organique



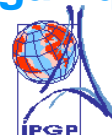
N. Janot<sup>1,2</sup>, G.V. Korshin<sup>3</sup>, P. Reiller<sup>1</sup>, M.F. Benedetti<sup>2</sup>

janot@ipgp.jussieu.fr

1 : CEA/DEN/DANS/DPC/SECR, Laboratoire de Spéciation des Radionucléides et des Molécules, Centre CEA de Saclay

2 : Laboratoire de Géochimie des Eaux, Université Paris-Diderot Paris 7 – IGP

3 : Department of Civil and Environmental Engineering, University of Washington, Seattle, WA 98195-2700 United States



## Contexte

Les interactions entre la matière organique naturelle et les minéraux modifient la mobilité et la biodisponibilité des éléments traces. De façon à pouvoir prévoir leur comportement, il est nécessaire de mieux caractériser les modifications de surface et la réactivité de la matière organique, que ce soit les fractions adsorbées et celles restant en solution.

## Objectifs

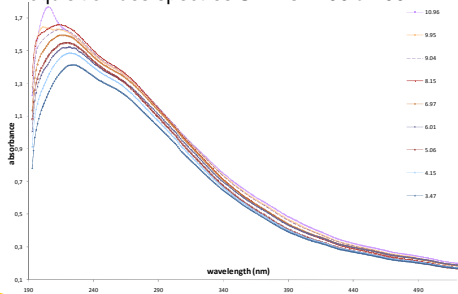
- Technique permettant l'étude de matière organique à faible concentration (proche milieux naturels)
- Quantification de la déprotonation
- Mise en parallèle avec les résultats obtenus en potentiométrie

## Acquisition des données

### 1. Titrage acido-basique

- Acide humique Aldrich purifié à 5 mg/L DOC
  - 5 mg/L DOC
  - 0.08M NaClO<sub>4</sub>
  - pH 3 à 11

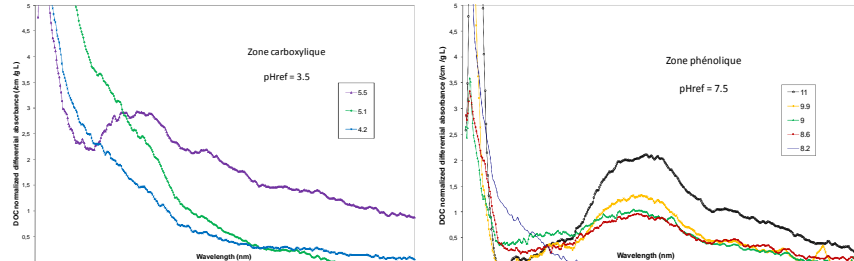
- Acquisition des spectres UV-Vis : 190 à 700 nm



### 2. Calcul du spectre d'absorption différentielle<sup>1</sup>

$$\Delta A_{\lambda}(pH) = \frac{1}{l_{cell} \cdot DOC} (A_{\lambda}(pH) - A_{\lambda}(pH_{ref}))$$

$l_{cell}$  la longueur de la cuve (en cm)  
 $DOC$  la concentration en carbone organique (en mg/L)  
 $A_{\lambda}(pH)$  et  $A_{\lambda}(pH_{ref})$  les absorbances à longueur d'onde donnée, mesurées respectivement au pH voulu et à un pH de référence



Apparition de caractéristiques absentes des spectres originaux, associées aux différentes fonctionnalités, en fonction du pH de référence choisi

## Comparaison avec potentiométrie

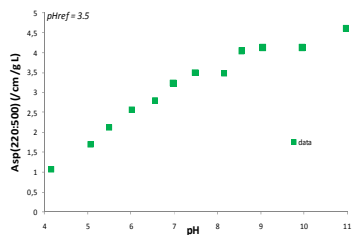
- Titrage potentiométrique d'acide humique  
 Solution concentrée (1g/L)

Calcul de la charge  $Q_{pot}$  (eq/kg)  
 Paramètres NICA-Donnan pour le proton  
 Constantes médianes d'affinité  $\tilde{K}_1, \tilde{K}_2$   
 Paramètres d'hétérogénéité  $m_1, m_2$



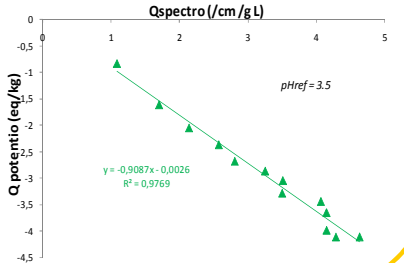
- Titrage spectrophotométrique  
 Solution diluée (5mg/L DOC)

Calcul de l'équivalent charge  $A_{sp}$  (/cm /g L)  
 =moyenne des valeurs entre 220 et 500 nm



- Correspondance entre les méthodes

Linéarité de la relation entre la quantité de sites obtenue en potentiométrie, et la densité de sites réactifs observée en spectrophotométrie.



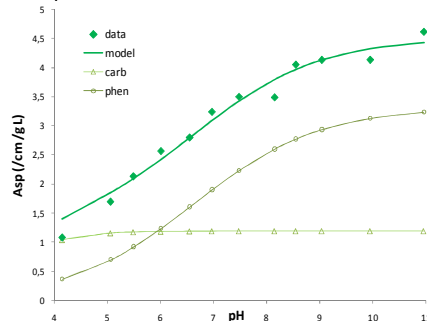
## Modélisation par NICA-Donnan<sup>2</sup>

$$A_{sp}(pH) = \left( \frac{A_{sp1}}{1 + (\tilde{K}_1 \cdot [H])^{m1}} + \frac{A_{sp2}}{1 + (\tilde{K}_2 \cdot [H])^{m2}} \right) - \left( \frac{A_{sp1}}{1 + (\tilde{K}_1 \cdot [H]_{ref})^{m1}} + \frac{A_{sp2}}{1 + (\tilde{K}_2 \cdot [H]_{ref})^{m2}} \right)$$

Utilisation des paramètres ( $\tilde{K}$ ,  $m$ ) déterminés par potentiométrie, de manière à déterminer les maximums d'absorption pour les deux types de groupes fonctionnels

	Groupes carboxyliques	Groupes phénoliques
$\log \tilde{K}$	3.53	7.15
$m$	0.73	0.37
$Q_{pot}$	2.59	1.90
$Q_{sp}$	1.19	3.32

En spectrophotométrie, les groupes phénoliques sont beaucoup plus exprimés que les groupes carboxyliques, contrairement aux résultats potentiométriques



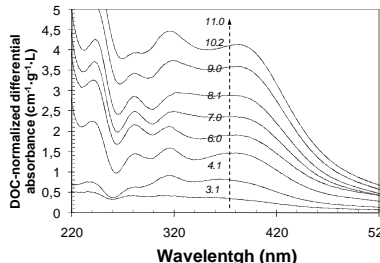
## Conclusions et Perspectives

✓ Validité de la méthode à faibles concentrations en matière organique

✓ Existence d'une fonction de transfert entre les résultats obtenus par potentiométrie et spectrophotométrie

### REFERENCES

1. Dyer, D.J. et al ; *Environ. Sci. Technol.* **2008**, *42*, 6644-6649.
2. Kinniburgh, D.G. *Colloids Surf. A* **1999**, *151*, 147-166.
3. Korshin G.V. et al ; *Environ. Sci. Technol.* Submitted



➤ Comparaison avec une solution d'acide humique après adsorption sur une surface minérale (oxyde d'aluminium)

➤ Comparaison avec d'autres types de substances humiques :  
 acides fulviques (1), fraction hydrophobe de la matière organique du bassin versant du Rio Negro (3, figure ci-contre)